

III-42 過圧密粘性土の一構成式

京都大学工学部 正員 足立紀高
青木建設 ○東木雅和

1.はじめに 正規圧密粘性土の構成式は時間効果に関する付山、柴田、平衡状態に対する弾一塑性化と著の Roscoe らによる一連の研究が有名である。埃ミサンから後来、研究、実験事実とともに、弾一塑性化と三次元の構成式を説明した。そこで、過圧密土に関する構成式はほとんど見当しない現状である。過圧密土に関する問題は種々あるが、そり一つとして軟岩(半固結状態にある堆積岩)の構成式計算、ひれき滑移収集などを考えてみる。ここでは時間効果を含まない、本に弾一塑性化とは考らず、砂に対して Wroth & Bassett が提案した "Exponential Function Theory" を拡張し、Swelling parameter κ の新しい決定方法を提案して、そり適用性の検討を加えよう。

2. 基本式⁽¹⁾ Wroth & Bassett は " α -test" と一実験式を Cambridge 学派の基準的考として導入して、"Exponential Function Theory" を提案したが、その矛盾点を改善すると次式が求まる。

$$\epsilon = M \{ 1 - (1 + \frac{b^*}{M} \epsilon) \exp(-\alpha \epsilon) \} \quad (1)$$

$$v = 1 + D_0 - (D_0 + b^{**} \epsilon) \exp(-\alpha \epsilon) \quad (2)$$

$$\therefore \kappa = b^* = a(D^* - M), \quad D^* = \frac{D_0(\alpha + \kappa)}{(1 + e)^{\alpha + \kappa}}, \quad 1 = \frac{1}{1 + e} \frac{\alpha}{\alpha + \kappa}, \quad b^{**} = aD_0 - M(1 + e)^{\alpha + \kappa}$$

これら関係を Roscoe との "original energy theory" と比較すると(正規圧密状態)，パラメータ κ ，入力パラメータ a ， Γ の間に次の関係があることわかる。

$$\alpha - \kappa = \epsilon_a - \Gamma \quad (3)$$

この関係を用いて，Exponential Function Theory と Original Energy Theory と非排水試験 ($\sigma_s = \text{const}$) と排水試験 ($P = \text{const}$) の場合 κ 一致し， b^* が過圧密効果を表していることが明らかとなる。

3. 新しい膨脹パラメータ "κ" の決定 (3)式の実験的検証より $\alpha - \kappa = 0.107$ で， $\epsilon_a - \Gamma = 0.072$ と実験用の深草粘土の場合には差異が生じ，また Original Energy Theory では正規圧密土上の応力 - ひずみ関係をじゅうぶん説明しきらずに，種々修正が行われていい。複雑な構造の考察や良い結論を導くと併らない。そこで，(3)式の結論をパラメータ κ の従来の決定方法の困難を考慮し，Critical State Line が e -log面上で直線となる実験事実にかたづいて，新しい κ の決定方法を以下のように提案する。たとえば Critical State Line が正規・過圧密双方に対する一つの直線で求めると、事実に依存していい。すなれば，Critical State Line が実験により，図-1 のように示すとすると，この Critical State Point F は実験結果 P_c が示されるから，直ちに決定される。これがてより初期状態 (ϵ_0, P_0) は名がわかつていいから非排水条件の場合には 0 点として求められる。図-2 では二つの方法で求められ、過圧密土の初期状態 結ぶ直線が Swelling Line で示されており、より直線性はよく、より勾配を κ と求められる。用いる粘土につれて κ^* の値は 0.0622 となり， $\kappa = \lambda - (\epsilon_a - \Gamma) = 0.055$ で求まるが近い値を示していい。この κ^* を用いて，Original Energy Theory が正規圧密土に適用すると、先に一例を示した通り実験結果、とくに

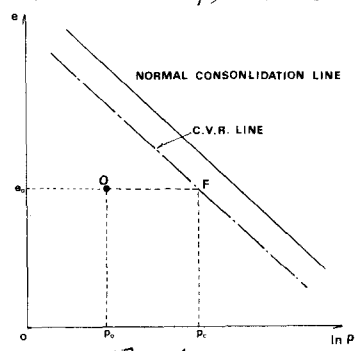


図-1

軸ひずみと発生圧が土水圧比に対しては高い精度で説明できることが明らかになっている。また更に σ_3 や成形圧を考慮したうえ、ひずみ-荷重曲線が時間に依存しないことを考慮し、平衡状態の応力-ひずみ関係をじゅうぶん説明しようとしたことを示していただきたいと考えられる。

4. 過圧密粘土への適用 (1), (2)式からびんべんを用いて、過圧密粘土への適用性を検討してみる。供試土は 30 g/cm^3 で算定した土をし、所定の過圧密比で、非排水せん断を行った。その結果、主応力差 $\sigma_1 - \sigma_3$ と軸ひずみ、平均応力 P と ϵ 、発生圧と土水圧比 ϵ と、そして $\epsilon = Q/P \sim \epsilon$ の関係と過圧密比 ϵ に対して図-3(a)と、過圧密比 ϵ に対して図-3(b)と示してある。図-3(a)はよくに得られた結果であり、もつとも適合しない例として示している。また図-4(a)と(b)はせん断中の有効応力経路の実験結果と理論式を求めたものである。

以上を総合すると、ここで求めた式は正規圧密粘土を最初に説明する程度には過圧密土の挙動を説明できれば、過圧密土の構成式として、研究の一歩、精緻としては後進のものと考えていい。

粘性土は時間効果の観察できず、それに粘弾一塑性体とする研究も続いている。これらを考慮した三次元粘性土力学の構成式の確立は境界値問題の解釈に必要である。

参考文献 1) Wroth & Bassett (1965): "A Stress-strain Relationship for the Shearing Behavior of a Sand" Geotech., Vol. 15-1, pp. 32~56.

2) 足立、東木(1974): "正規ひずみ過圧密粘土の構成方程式" 第9回土質工学研究発表会講演集, pp. 251~254.

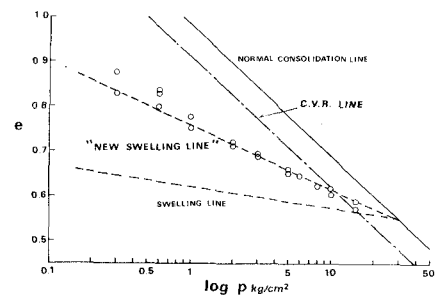


図-2

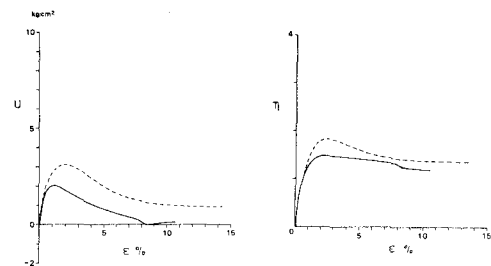
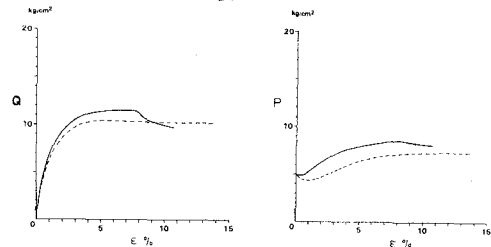


図-3(a)

$$p_0 = 5 \text{ kg/cm}^2 \\ n = 6$$

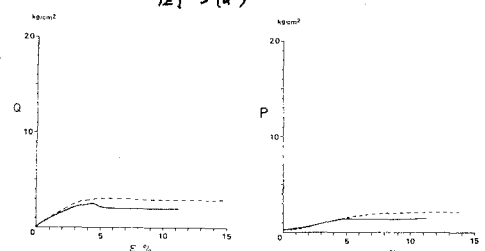


図-3(c)

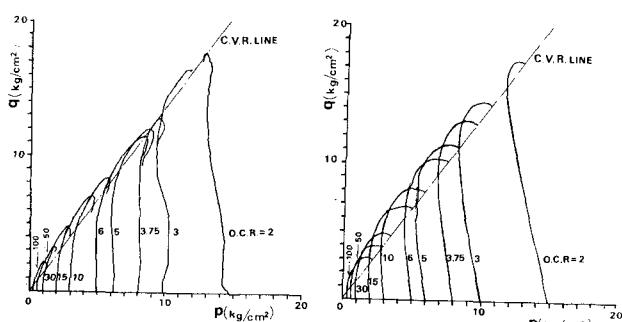


図-4(a)

図-4(b)

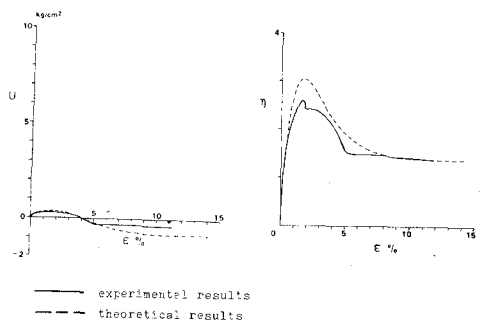


図-4(b)